

$$v = \rho c \lambda / (2k^2 a) \cos \bar{\eta} (\cos \bar{\eta} + \sin \bar{\eta}) \int_{T_c}^{T_k(s)} \frac{T_k - T_c}{F^2(T_k)} dT_k . \quad (12)$$

Здесь учтено, что $F(T_c) \approx \mu \approx 1$. Получив с использованием выражения (12) значение $\bar{\mu}$ для заданной скорости резания, выбираем силу и ее составляющие, которые соответствуют этому $\bar{\mu}$ (на единицу ширины срезаемого слоя).

Расчет по предложенной методике удобно осуществлять с применением ЭВМ, используя стандартные подпрограммы для численного интегрирования и решения нелинейных уравнений. Приведенные на графике (рис. 2) зависимости силы резания и ее составляющих от скорости резания при обработке детали из стали 45 (толщина среза $a = 0,2$ мм, ширина среза $b = 2$ мм) достаточно близки к реальному процессу.

ЛИТЕРАТУРА

- Зорев Н.Н. Расчет проекций сил резания. — М., 1958. — 56 с.
- Куцер В.М. Анализ процесса ортогонального резания с учетом переменных свойств обрабатываемого материала // Машиностроение. — Мн., 1988. — Вып. 13. — С. 8–15.
- Lee E.H., Shaf fer V.W. The theory of plasticity applied to a problem of machining // Trans. ASME: J. Appl. Mech. — 1951. — No 18. — P. 405–413.
- Резников А.Н. Теплофизика резания. — М., 1969. — 288 с.
- Третьяков А.В., Трофимов Г.К., Гурьянова М.К. Механические свойства сталей и сплавов при пластическом деформировании. — М., 1971. — 64 с.

УДК 621.941.025

М.И. МИХАЙЛОВ

КОНТАКТНЫЕ НАПРЯЖЕНИЯ НА ОПОРНОЙ ГРАНИ РЕЖУЩЕЙ ПЛАСТИНЫ СБОРНОГО ИНСТРУМЕНТА

Дальнейшая автоматизация машиностроительного производства невозможна без автоматизации проектирования оснастки и режущего инструмента, которая требует совершенствования и разработки математических моделей, описывающих показатели прочности и жесткости сборных инструментов. Анализ работ [1, 2] по расчету контактных напряжений в сборном инструменте показывает, что еще недостаточно уделяется внимания анализу связи контактных напряжений с конструктивными и технологическими особенностями инструмента. Кроме того, использованные методики не позволяют учесть всех особенностей сборного инструмента. В настоящее время находит применение численный метод расчета контактных напряжений [3].

Рассмотрим методику расчета на примере канавочного резца. С целью упрощения он проводился по этапам: расчет контактных напряжений между ложементам (подкладкой) и державкой; расчет контактных напряжений между режущей пластиной и ложементам с заменой действия державки контактными напряжениями, полученными из расчетов предыдущего этапа.

Эти расчеты производились по единой математической модели. Для их реализации были разработаны расчетные схемы (рис. 1).

На рис. 1, *a* представлена схема для реализации расчетов первого этапа с выступающей из резцедержателя частью державки 3 (продольное сечение), ложементам 2 и режущей пластиной 1.

В левой части рис. 1, *a* изображена схема закрепленного реза, действие прихвата заменено распределенной нагрузкой q_1 , а зажимных винтов резцедержки — силами $P_1 - P_4$. В процессе резания под влиянием внешней силовой нагрузки (P_z и P_y) все элементы системы крепления получают относительные

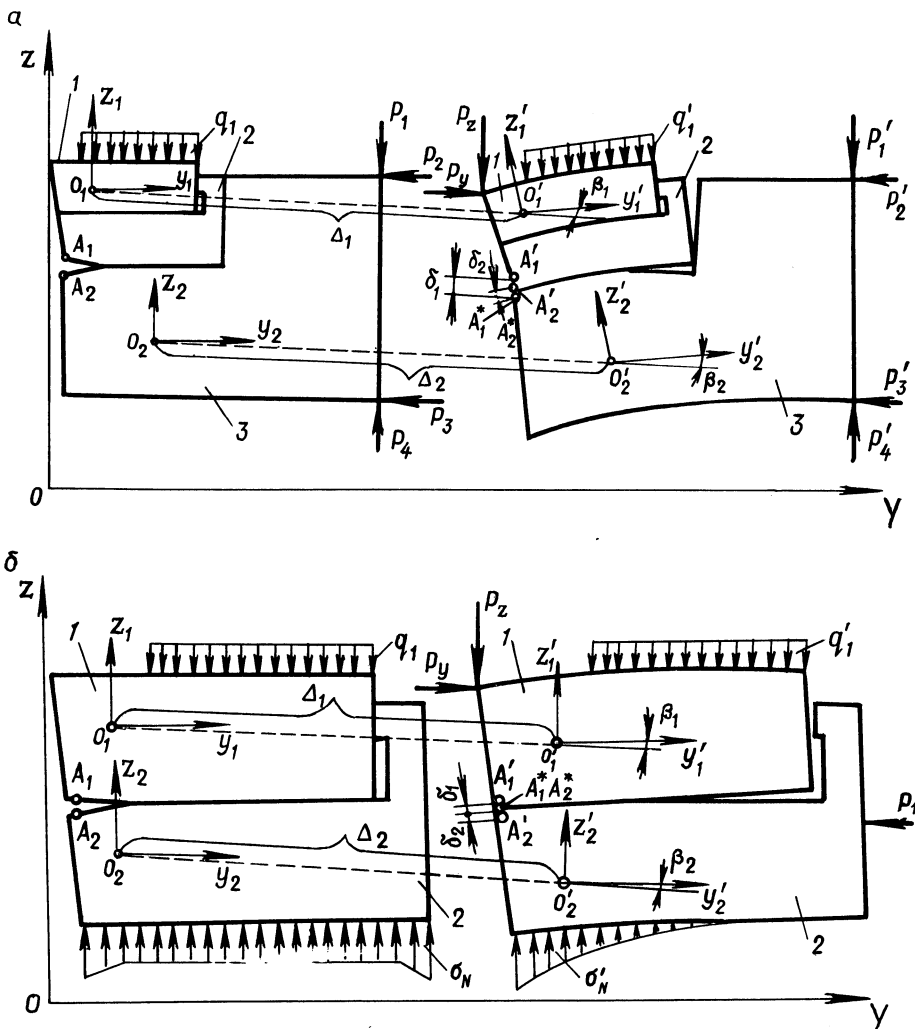


Рис. 1. Схема к расчету контактных напряжений:
a — между державкой и ложементам; *b* — между режущей пластиной и ложементам

перемещения от деформаций и относительных поворотов (правая часть рис. 1, а). Для определения относительных перемещений на ложементе и державке были выбраны точки A_1 и A_2 , которые под действием сил резания в результате координатных поворотов и смещений займут положения A'_1 и A'_2 , а за счет деформаций системы крепления перейдут соответственно в точки A^*_1 и A^*_2 . Проекция перемещений, вызванных координатными поворотами и смещениями, на оси общей системы координат ZOY выражаются следующим образом:

$$Z(A'_i) = Z(A_i) + \Delta_{iz};$$

$$Y(A'_i) = Y(A_i) + \Delta_{iy},$$

где Δ_{iy} и Δ_{iz} – проекции перемещений Δ соответственно на оси Y и Z ; $\Delta_{iz} = \Delta_i \cos \beta_j$; $\Delta_{iy} = \Delta_i \sin \beta_j$; β_j – угол поворота системы координат $Z_j O_j Y_j$ относительно общей системы координат ZOY ; i – порядковый номер рассматриваемых точек ($i = 1, 2$).

Проекция перемещений, вызванных деформациями системы крепления пластин, на оси общей системы координат можно выразить следующим образом:

$$Z(A^*_i) = Z(A'_i) - u_i;$$

$$Y(A^*_i) = Y(A'_i) - v_i,$$

где u_i и v_i – компоненты перемещений δ_i соответственно вдоль осей Z_j и Y_j .

Принимая во внимание, что условия касания точек имеют вид $Y(A^*_1) = Y(A^*_2)$, $Z(A^*_1) = Z(A^*_2)$, и учитывая связь между системами координат, получим условия совместности перемещений для контактирующих точек державки и ложемента:

$$\begin{cases} Y(A_1) - Y(A_2) = \Delta_{1y} - \Delta_{2y} - \sum_{i=1}^2 (-1)^i (v_i \cos \beta_j) - u_i \sin \beta_j; \\ Z(A_1) - Z(A_2) = \Delta_{1z} - \Delta_{2z} - \sum_{i=1}^2 (-1)^i (-v_i \sin \beta_j + u_i \cos \beta_j), \end{cases} \quad (1)$$

где $Y(A_i)$ и $Z(A_i)$ – координаты точек тел в ненагруженном состоянии.

Так как система сил, действующих на резец, известна, перемещения точки A_j на его поверхности можно определить с помощью функций влияния (функции Грина):

$$\int v_i = \int_{\xi_d}^{\xi_b} K_{\sigma}^{(v)}(A, \xi) \sigma(\xi) d\xi + \sum_{m=1}^n K_P^{(v)}(A, y_P) P_{jm}; \quad (2)$$

$$\left\{ \begin{array}{l} u_i \\ \xi_a \end{array} \right. = \int_{\xi_a}^{\xi_b} K_{\sigma}^{(u)}(A, \xi) \sigma(\xi) d\xi + \sum_{m=1}^n K_P^{(u)}(A, z_P) P_{jm} ,$$

где $K_{\sigma}^{(v)}(A, \xi), K_{\sigma}^{(u)}(A, \xi)$ – функции влияния напряжений σ_N на перемещения точек A_i соответственно в направлениях осей Y и Z под действием силы, приложенной в точке ξ ; $K_P^{(v)}(A, y_P), K_P^{(u)}(A, z_P)$ – функции влияния сил P_{jm} , отображающие перемещения точек A_i соответственно в направлениях осей Z и Y от единичной силы, приложенной в этих же точках.

Уравнения равновесия системы будут иметь вид (силы трения не учитываются):

$$\sum_{m=1}^n P_{jmy} = e \int_{z_{ja}}^{z_{jb}} \sigma_N dz ;$$

$$\sum_{m=1}^n P_{j mz} = e \int_{y_{ja}}^{y_{jb}} \sigma_N dy ;$$

$$\sum_{m=1}^n M_j(P_{jm}) = e \int_{y_{ja}}^{y_{jb}} \sigma_N y dy + e \int_{z_{ja}}^{z_{jb}} \sigma_N z dz ,$$

где P_{jmy} и $P_{j mz}$ – проекции внешних сил P_{jm} на оси Y и Z ; j, m – соответственно номер тела и силы; σ_N – контактные напряжения; y_{ja} и z_{ja} – координаты начала площадки контакта в системе координат $Z_j O_j Y_j$; y_{jb} и z_{jb} – координаты конца площадки контакта; e – ширина пластины.

Подставив соотношения (2) в условия (1), получим систему интегральных уравнений. С помощью этой системы и уравнений равновесия можно найти неизвестные напряжения в зонах контакта, размеры этих зон, координатные повороты и перемещения резца. При определении этих параметров в условиях различия площадей касания полученная система интегральных уравнений может быть решена только численно. Для этого примем допущения о наличии дискретного контакта между пластиной и ложементом и разделим зону контакта на ряд одинаковых зон Δt_i ($i = 1, 2, \dots, k$), а неизвестную функцию распределения контактных напряжений аппроксимируем ступенчатым законом с постоянными напряжениями в зоне i -й точки контакта. В этом случае уравнения примут вид ($j = 1, 2$):

$$\left\{ \begin{array}{l} \sum_{m=1}^n P_{jmy} = e \sum_{i=1}^k \sigma_i \Delta t_{iz}; \\ \sum_{m=1}^n P_{j mz} = e \sum_{i=1}^n \sigma_i \Delta t_{iy}; \\ \sum_{m=1}^n M_j(P_{jm}) = e \sum_{i=1}^k (z_i \Delta t_{iz} + y_i \Delta t_{iy}). \end{array} \right. \quad (3)$$

Уравнения (2) можно переписать в виде ($l = 1, 2, \dots, k$)

$$\begin{aligned} v_{ji} &= \sum_{i=1}^k K_{jil}^{(v)} \sigma_{il} \Delta t_l + \sum_{m=1}^n K_{jip}^{(v)} P_{jm}; \\ u_{ji} &= \sum_{i=1}^k K_{jil}^{(u)} \sigma_{il} \Delta t_l + \sum_{m=1}^n K_{jip}^{(u)} P_{jm}, \end{aligned} \quad (4)$$

где $K_{jil}^{(u)}$ и $K_{jil}^{(v)}$ — функции влияния, отображающие перемещения соответственно в направлении осей Z_j и Y_j точки тела j в сечении i от единичной силы, приложенной в сечении l .

Эти функции определялись методом конечных элементов. Записывая уравнения (1) с учетом равенства (4) для i площадок ($i = 1, 2, \dots, k$), получим систему из k уравнений с $k + 1$ неизвестными. Решая эту систему совместно с уравнениями равновесия (3), определяем неизвестные контактные напряжения, которые будут использованы при расчете второго этапа — определении контактных напряжений между режущей пластиной и ложементом (рис. 1, б).

В левой части рис. 1, б ложемент 2 и режущая пластина 1 находятся в условиях зажима, а в правой — в условиях резания, т.е. нагружены силами резания. На них выбраны точки A_1 и A_2 при условии несплошного контакта (при сплошном контакте эти точки можно выбрать на задней поверхности режущей пластины и ложемента). Расчет был произведен по методике, описанной выше.

При исследовании контактных напряжений устанавливалось влияние толщины срезаемого слоя и модуля упругости ложемента на значения и характер этих напряжений. В первом случае к режущей кромке резца прикладывались силы резания, полученные по известной методике [4]. Анализ рис. 2, а показывает, что от толщины срезаемого слоя зависят значение и характер изменения контактных напряжений, а также длина l контактирующего участка. При малых толщинах срезаемого слоя ($a = 0,1; 0,2$ мм) длина контакта режущей пластины и ложемента увеличивается, что объясняется большим влиянием на контактные напряжения сил зажима пластины. С увеличением толщины срезаемого слоя ($a = 1 \dots 1,6$ мм) контактные напряжения со стороны режущей

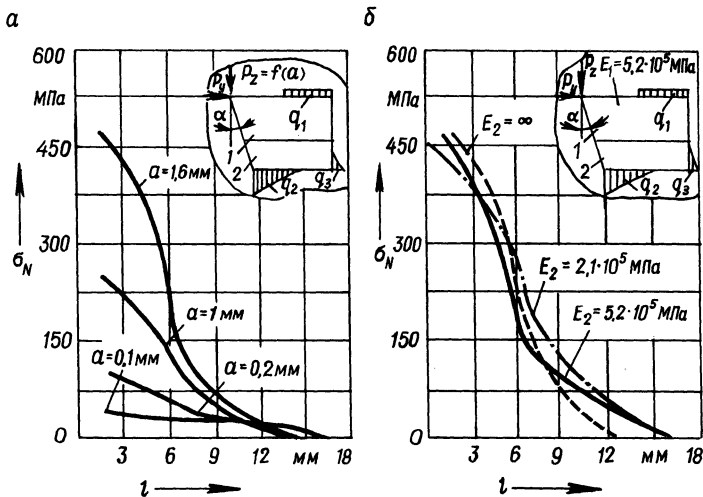


Рис. 2. Распределение контактных напряжений по длине контакта в зависимости от толщины срезаемого слоя (а) и модуля упругости материала (б)

кромки резко возрастают, а с обратной стороны от режущей кромки уменьшаются до нуля из-за координатных поворотов, перемещений и деформаций режущей пластины с ложементом. Это связано с различием физико-механических характеристик режущей пластины и ложемент, а также с характером и местом приложения нагрузки. При определении влияния физико-механических характеристик ложемент на контактные напряжения в расчетной схеме (рис. 1, а, б) модуль упругости ложемент должен иметь значения $E_2 = 2,1 \cdot 10^5$ МПа (для конструкционной стали), $E_2 = 5,2 \cdot 10^5$ МПа (для твердого сплава) и $E_2 = \infty$. Анализ рис. 2, б позволяет заключить, что такое изменение модуля упругости приводит к незначительному изменению контактных напряжений, благодаря чему можно использовать ложемент из термообработанной конструкционной стали.

ЛИТЕРАТУРА

1. Новоселов Ю.А., Михайлов М.И. Расчет контактных напряжений на опорных площадках режущей пластины сборных резцов // Машиностроение. – Мн., 1983. – Вып. 8. – С. 3–5.
2. Х а е т Г.Л. Прочность режущего инструмента. – М., 1975. – 164 с.
3. Ж е м о ч к и н Б.Н., С и н и ц ы н А.П. Практические методы расчета фундаментных балок и плит на упругом основании. – М., 1962. – 284 с.
4. З о р е в Н.Н. Исследование элементов механики процесса резания. – М., 1952. – 178 с.